

Kurze Wiederholung: Kobordismen zwischen  $\ell$ -gefärbten parametrisierten Flächen werden selbst parametrisiert durch spezielle Links in  $S^3$ .

- Insbesondere können spezielle Links ungefärbte Coupons enthalten.
- Diese ungefärbten Coupons kodieren gerade den Homöomorphietyp der Randkomponenten und deren Färbungen.

Chirurgie an speziellem Link  $X \in S^3$ :  $L \subset X$  Vereinigung über alle ungefärbten Knoten in  $X$

$U_{t_i}$  Henkelkörper des  $i$ -ten ungefärbten Coupons

$$M_X = M_L \setminus \bigcup_i U_{t_i}$$

Beispiel:



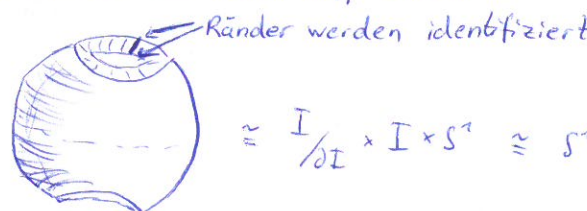
$X =$

Ist Kobordismus  ~~$S^3 \times [0,1]$~~

von  $T^2 \rightarrow T^2$ ,  $T^2 = S^1 \times S^1$

mit  $L = \emptyset$ . Chirurgie an  $L$  liefert  $S^1 \times S^2 \cong I \times S^2$

Entfernen der beiden  $U_{t_i}$  liefert



$$\cong I \times I \times S^1 \cong S^1 \times I \times S^1 = I \times T^2$$

Kodiert also den Zylinder über  $T^2$ .

Kurzer Einstieg: Warum überhaupt  $\ell$ -gefärbte 2- und 3-Mfkt.? Warum Knoten in 3-Mfkt?

Motivation am Anfang: Witten: Invariante von 3-Mfkt. über das Pfadintegral

aber auch: Invariante durch Holonomie entlang von Schleifen in der Mannigfaltigkeit  $\rightsquigarrow$  führt auf Jones-Polynom des Knotens.

Reshetikhin - Turaev - Konstruktion: TQFT von Mannigfaltigkeiten inklusive Knoten!

Es gibt eine modulare Tensorkategorie, die das Jones-Polynom liefert.

Sei  $(M, T)$  eine  $\ell$ -gefärbte 3-Mfkt. mit  $\partial M = \Sigma_+ \sqcup \Sigma_-$ .

Setze  $Z(M, T) = Z(M_X) = D^{1|L|-1} \cdot F_e(X) \in Z(\Sigma_+)^* \otimes Z(\Sigma_-) \cong \text{Hom}(Z(\Sigma_+), Z(\Sigma_-))$

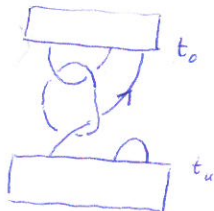
mit  $F_e(X)(q_1 \otimes \dots \otimes q_n) = \sum_c d_c F_e(X(q_1 \otimes \dots \otimes q_n, c))$

$$\text{und } d_c = \prod_i d_{c_i}$$

Interpretation von  $Z(M, T)$ :

- Ränder sind von der Form  $\sum_{t_1}^+ \sqcup \dots \sqcup \sum_{t_n}^+ \sqcup \sum_{s_1}^- \sqcup \dots \sqcup \sum_{s_e}^-$
- Erzeuge geschlossene 3-Mfkt. durch Einkleben der Standard-3-Mfkt.
- $U_{t_1}^+, \dots, U_{t_n}^+, U_{s_1}^-, \dots, U_{s_e}^-$  inklusive leerer Coupons
- Färbe Coupons mit Elementen aus  $Z(\sum^+ \sqcup \sum^-) = \langle W_{t_1} \rangle \otimes \dots \otimes \langle W_{t_n} \rangle \otimes \langle W_{s_1} \rangle \otimes \dots \otimes \langle W_{s_e} \rangle$
- Bestimme Invariante.

Beispiele: Nur ein „eingehender“ und ein „ausgehender“ Coupon

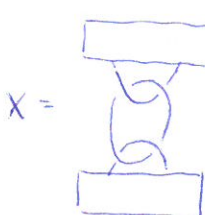


Lösche Coupons, übrig bleibt  
ein Diagramm, das einen Morphismus  
 $\tilde{x}$   
 $W_{t_u} \rightarrow W_{t_o}$  beschreibt

Abbildung von

$$\begin{array}{ccc} \langle W_{t_u} \rangle & \longrightarrow & \langle W_{t_o} \rangle \\ \text{Hem}(1, W_{t_u}) & & \text{Hem}(1, W_{t_o}) \end{array} \quad \text{gegeben durch Komposition mit} \quad \tilde{\delta}^{(l(t_i), g(t_i))}_{?} F_e(\tilde{x})$$

Konkret für



Lemma:

$$\left( \begin{array}{c} \nearrow i \swarrow j \\ \parallel \end{array} \right) = \delta_{ij} \frac{P^+ P^-}{d_i} \left( \begin{array}{c} \nearrow i \\ \parallel \end{array} \right)$$

Beweis: Übungsaufgabe

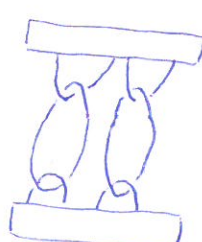
Korollar:

$$\left( \begin{array}{c} \nearrow i \\ \parallel \end{array} \right) = \left( \begin{array}{c} \nearrow i \\ \nearrow j \end{array} \right) = \delta_{ij} \frac{P^+ P^-}{d_i} \left( \begin{array}{c} \nearrow i \\ \parallel \end{array} \right)$$

Zusammen mit der richtigen Normierung erhalten wir:

$$Z(M_x) = id_{\mathbb{T}^2}$$

auch allgemeiner



ist Zylinder über Fläche vom Geschlecht 2.

## Verkleben

- Sei  $M_1$  ein  $\ell$ -gefärbter Kobordismus  $\Sigma_0 \rightarrow \Sigma_1$
- Sei  $M_2$  ein  $\ell$ -gefärbter Kobordismus  $\Sigma_1 \rightarrow \Sigma_2$

Müssen prüfen:  $Z(M_1 \#_{\Sigma_1} M_2) = Z(M_2) \circ Z(M_1)$  (\*)

Sei für Übersichtlichkeit halber nehmen wir an, dass  $\Sigma_i$  nur aus einer Komponente besteht

$$\Sigma_i \cong \Sigma_{t_i}$$

zu  $t_1$  gehört ein Tangle  $T_{t_1}$ :

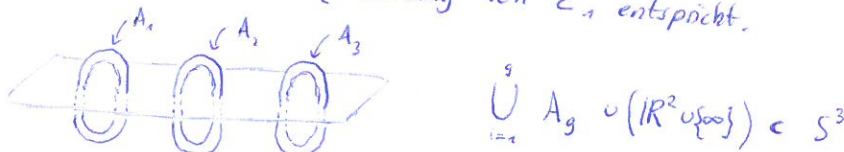
$M_1$  lässt sich darstellen durch einen speziellen Link  $X_1$ , der  $T_{t_1}$  enthält, entsprechend ist  $M_2$  dargestellt durch  $X_2$  mit  $T_{t_2}$ .

rechte Seite von (\*) führt auf

$$\begin{array}{c} \text{---} \\ | \quad \cap \quad \uparrow \uparrow \\ | \quad \cup \quad \uparrow \uparrow \\ \hline \end{array} = \begin{array}{c} \text{---} \\ | \quad \uparrow \uparrow \\ \hline \end{array}$$

Haben zu prüfen, dass Chirurgie entlang der neu entstandenen trivialen Knoten  $\emptyset$  der Verklebung von  $M_1$  mit  $M_2$  entlang von  $\Sigma_1$  entspricht.

Betrachte:



Sei  $U$  reguläre Umgebung hier von.  $U$  enthält den Link  $\bigcup_{i=1}^g A_g$ .

Führe Chirurgie in  $U$  an  $\bigcup_{i=1}^g A_g$  durch.



Mit demselben Argument wie oben liefert dies ein 3-Mkt, die homeomorphist zu  $\Sigma_1 \times I$ .

- Aber ~~sicher~~ •) Aber  $S^3 \setminus U$  zerfällt in zwei Kopien von  $IR^3$ , die einen Ribbon tangle enthalten,
- so dass Chirurgie an diesem Tangle  $M_1$ , bzw.  $M_2$  liefert.
  - Durchführen dieser Chirurgien und Einfügen von  $U$  liefert Verklebung von  $M_1$  und  $M_2$  entlang des Zylinders  $\Sigma_1 \times I$ , also  $M_1 \#_{\Sigma_1} M_2$

Von parametrisierten Mfkt. zu nicht parametrisierten

Lemma: Jede  $\ell$ -gefärzte Fläche  $\Sigma$  besitzt eine Parametrisierung.

Sei  $\psi: \Sigma \rightarrow \sum_{t_1} \sqcup \dots \sqcup \sum_{t_n}$  eine Parametrisierung. Jede andere Parametrisierung  $\varphi: \Sigma \rightarrow \sum_{t_1} \sqcup \dots \sqcup \sum_{t_n}$  entsteht durch  $\varphi = f \circ \psi$  für einen Homöo.

$$f: \sum_{t_1} \sqcup \dots \sqcup \sum_{t_n} \rightarrow \sum_{t_1} \sqcup \dots \sqcup \sum_{t_n}$$

Betrachte Zylinder mit  $\Sigma \times I$  mit Parametrisierung

$$\bar{\Sigma} \sqcup \bar{\Sigma} \xrightarrow{\varphi \# f \circ \psi} (\bar{\Sigma}_{t_1} \sqcup \dots \sqcup \bar{\Sigma}_{t_n}) \sqcup (\bar{\Sigma}_{t_1} \sqcup \dots \sqcup \bar{\Sigma}_{t_n})$$

liefert Operation  $f_* = Z(\Sigma \times I) : Z(\Sigma, \psi) \rightarrow Z(\Sigma, f \circ \varphi)$  mit den Eigenschaften:

$$id_* = id$$

$$(f \circ g)_* = f_* \circ g_*$$

liefert Kanoni sche Isomorphismen:

$$f_{\varphi, \psi}: Z(\Sigma, \psi) \rightarrow Z(\Sigma, \varphi)$$

$$\text{mit } f_{\varphi_1, \varphi_2} \circ f_{\varphi_2, \varphi_3} = f_{\varphi_1, \varphi_3}.$$

Definiere  $Z(\Sigma) = \coprod_{\psi} Z(\Sigma, \psi) / \sim$  wobei Äquivalenzrelation durch  $f_{\varphi, \psi}$  gegeben ist.

Aufgrund der Naturlichkeit von  $Z$  kommutiert:

$$\begin{array}{ccc} Z(\Sigma_0, \psi) & \xrightarrow{Z(M)} & Z(\Sigma_1, \psi) \\ \int f_{\psi, \psi} & \# & \int f_{\psi, \psi} \\ Z(\Sigma_0, \psi') & \xrightarrow{Z(M')} & Z(\Sigma_1, \psi') \end{array}$$

$M'$  ist dieselbe  $\ell$ -gefärzte Mfkt. wie  $M$  jedoch mit einer anderen Parametrisierung der Randkomponenten.